

Pràctica 2. Força entre corrents

Abstract

Acla

1 Introducció i Objectius

L'objectiu principal d'aquesta pràctica és la comprovació experimental de la llei de Biot-Savart en el cas de dos fils paral·lels. S'ha calculat la força que s'exerceixen dos fils paral·lels pels quals hi circula la mateixa intensitat.

Més concretament, s'han avaluat experimentalment les correlacions entre la força entre els corrents i el quadrat de la intensitat que hi circula, i també entre la força i l'invers de la distància a què es troben.

A més, s'ha determinat experimentalment la constant μ_0 i el valor de la component radial del camp magnètic terrestre.

A partir de la llei d'Àmpere, es pot deduir que la força que s'exerceixen dos fils amb les característiques mencionades anteriorment és

$$F = \frac{\mu_0 I^2 L}{2\pi r} \quad (1)$$

on I és la intensitat que hi circula, L la longitud dels dos fils i r la separació entre ells.

També, si existeix un camp B constant al llarg de tot el fil, la força que sent aquest és

$$F = BLI \quad (2)$$

2 Mètode experimental

Totes les mesures s'han pres en una balança de corrents. La Figura 1 mostra un esquema del dispositiu, amb els elements principals.

La balança disposa de dos maneres de determinar la força entre els corrents. Per una banda, disposa d'una cassoleta de pesos on col·locar diferents masses. Sabent que, en el moment que la balança es troba equilibrada, la força gravitatòria sobre la massa és igual a la força entre els corrents es pot determinar aquesta última. Per l'altra banda, la balança també disposa d'un dial i un fil de torsió que poden contrarrestar la força entre els corrents. Sabent que la relació entre els graus que rota el dial i la força que fa és lineal, i coneixent la constant de proporcionalitat es pot determinar també la força entre els corrents.

Creiem necessari comentar que els corrents s'han disposat en direcció nord-sud terrestre per tal que el camp magnètic de la Terra no influeixi en els nostres resultats.

Cal també comentar que el valor que s'ha pres com a acceleració de la gravetat és 9.80665 m/s^2 sense incertesa, ja que s'ha considerat que és menyspreable enfront a la resta d'incerteses que podem tenir. S'han pres també sense incertesa els valors de les masses proporcionades al laboratori.

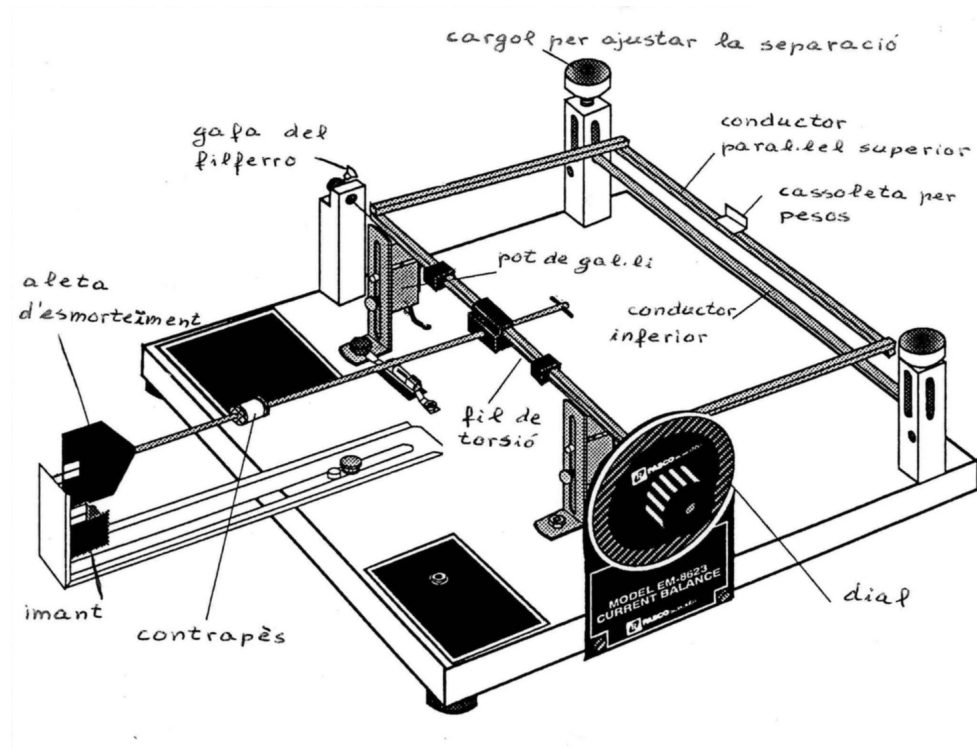


Figura 1: Esquema de la balança de corrents amb els principals elements

2.1 Força vs. Intensitat

Per aquesta part de la pràctica s'ha mesurat la intensitat necessària per compensar la força gravitatòria exercida sobre el cable superior per masses de 5, 10, 15, 20 i 25mg. Posteriorment s'ha aplicat una regressió lineal entre la força i el quadrat de la intensitat per comprovar-ne la correlació predita per l'expressió 2.

2.2 Força vs. Distància

En aquesta part, s'ha fixat una intensitat i s'ha anat variant la distància entre els cables amb els cargols disposats amb aquest fi. Per cada distància desitjada s'ha determinat la força entre els corrents a partir del dial i el fil de torsió. A les dades preses se'ls hi ha aplicat una regressió lineal entre la força i l'invers de la distància de separació per comprovar la correlació predita per l'expressió 2. A partir del pendent obtingut en la regressió i l'expressió 2 s'ha determinat experimentalment la constant μ_0 .

2.3 Camp Magnètic Terrestre

Per aquesta part de l'experiència s'han orientat els corrents en direcció est-oest per tal que influís la component radial del camp magnètic terrestre. Per la disposició de la balança i el fet que la força que un camp magnètic exerceix sobre un corrent és perpendicular al pla que defineixen no es pot determinar la component horitzontal del camp magnètic terrestre.

Posteriorment, s'ha fet circular una intensitat fixa només pel fil superior i s'ha determinat la força que patia a través del dial i el fil de torsió. El camp magnètic s'ha determinat a partir de l'expressió 3.

Taula 1: Intensitat mitjana necessària per contrarrestar la força gravitatòria de cada massa.

| Massa (mg) | Intensitat (A) | Incertesa en la intensitat (A) |
|------------|----------------|--------------------------------|
| 5 | 2.62 | 0.10 |
| 10 | 3.62 | 0.18 |
| 15 | 4.49 | 0.15 |
| 20 | 5.19 | 0.18 |
| 25 | 5.8 | 0,3 |

Taula 2: Rotació del dial necessària per contrarrestar la força entre corrents a diferents distàncies. La intensitat, fixa, és de (5.37 ± 0.02) A.

| Separació (m) (± 0.001 m) | Rotació del dial ($^{\circ}$) ($\pm 1^{\circ}$) |
|--------------------------------|---|
| 0.010 | 64 |
| 0.009 | 63 |
| 0.008 | 65 |
| 0.007 | 87 |
| 0.006 | 129 |
| 0.005 | 186 |

3 Resultats

3.1 Força vs. Intensitat

La Taula 1 mostra les mitjanes de les intensitats necessàries per contrarrestar la força gravitatòria de les diferents masses usades. La Taula A2.1 de l'annex mostra totes les dades per a cada massa.

Amb els valors presentats a la Taula 1 s'ha fet una regressió lineal entre la força entre corrents i el quadrat de la intensitat. La regressió, amb un coeficient $r^2 = 0.999$, es presenta a la Figura 2.

El valor obtingut del pendent de la recta de regressió es de $m = (7.35 \pm 0.08) \cdot 10^{-6}$ N/A². A partir d'aquest valor i l'expressió 2 s'ha determinat $\mu_0 = (1.25 \pm 0.04) \cdot 10^{-6}$ N/A², que és compatible amb el valor tabulat.

3.2 Força vs. Distància

Primerament, a través d'una regressió lineal amb un factor de correlació $r^2 = 0.985$ s'ha determinat la dependència lineal entre la força exercida pel fil de torsió i la rotació del dial, amb un valor de la constant de proporcionalitat de $k = (3.2 \pm 0.2) \cdot 10^{-7}$ N/grau. Les dades de la regressió es poden veure a la Taula A2.2 i a la Figura A2.1, ambdues a l'annex. Així, la força es pot determinar per

$$F = k\theta \quad (3)$$

S'ha fixat una intensitat constant de $I = (5.37 \pm 0.02)$ A i s'ha mesurat la rotació necessària del dial per contrarrestar la força entre corrents. La Taula 2 mostra els resultats.

Amb les dades de la Taula 2 s'ha realitzat una regressió lineal entre la força entre corrents, calculada a partir de l'expressió 3, i l'invers de la distància. La regressió, amb un coeficient $r^2 = 0.932$, es pot veure a la Figura 2.

El pendent obtingut a partir de la regressió és $n = (4.1 \pm 0.6) \cdot 10^{-6}$. A partir d'aquest valor i l'expressió 2 s'ha determinat experimentalment el valor de la constant $\mu_0 = (!!!)$.

Taula 3: Mesures de la component radial del camp magnètic terrestre

| Intensitat (A) (± 0.01 A) | Rotació del dial ($^{\circ}$) ($\pm 1^{\circ}$) | Camp magnètic (nT) | Incertesa (nT) |
|---|--|---------------------------|-----------------------|
| 6.06 | 8 | $1.4 \cdot 10^4$ | $0.3 \cdot 10^4$ |
| 6.13 | 8 | $1.4 \cdot 10^4$ | $0.3 \cdot 10^4$ |
| 6.57 | 12 | $2.0 \cdot 10^4$ | $0.4 \cdot 10^4$ |

3.3 Camp Magnètic Terrestre

La Taula 3 mostra tres mesures d'intensitat i les respectives rotacions del dial per tal de compensar la força que el cable pateix degut a la component radial del camp magnètic terrestre. La força s'obté a partir de l'expressió 3, i el camp a partir de l'expressió 2.

D'aquesta manera, obtenim, a partir de la mitjana aritmètica dels valors de la Taula 3, un valor de la component radial del camp magnètic terrestre de $B = (1.59 \pm 0.18) \cdot 10^{-5}$. El resultat no és consistent amb el valor tabulat del camp magnètic a Madrid l'any 1975, possiblement per interferències amb altres elements.

4 Conclusions